

УДК 535.375

ОСОБЕННОСТИ ДИСПЕРСИИ  $A_1$ -ПОЛЯРИТОНОВ  
ПРИ НИЗКИХ ТЕМПЕРАТУРАХ  
В НИОБАТЕ И ТАНТАЛАТЕ ЛИТИЯ

Л. Г. Резник, А. А. Аникеев,  
В. С. Горелик и Б. С. Умаров

Представлены результаты исследования спектров комбинационного рассеяния на поляритонах  $A_1$ -типа в ниобате и tantalате лития для области температур 100—300 К. На основе полученных спектров построены дисперсионные зависимости для высокочастотных  $A_1$ -поляритонов. Проведено сопоставление экспериментальных дисперсионных зависимостей с кривыми, рассчитанными с учетом четырех  $A_1$ -фонов. Определены значения высокочастотных диэлектрических проницаемостей. Обнаружено, что при понижении температуры кристалла ниобата лития на спектрах в области частоты 580 см<sup>-1</sup> возникает новая поляритонная особенность.

Кристаллы ниобата и tantalата лития являются сегнетоэлектриками, в которых происходит фазовый переход типа смещения при высоких температурах. При использовании этих кристаллов в нелинейных устройствах оказывается важным характер частотной зависимости диэлектрической проницаемости в инфракрасной области спектра, непосредственно связанный с дисперсией поляритонов. Для получения такого закона в последнее время широко используется метод комбинационного рассеяния света.

В работах [1, 2] был получен закон дисперсии  $A_1$ -поляритонов в области высокочастотного  $TO$ -фона кристалла ниобата лития при комнатной температуре и при температуре 100 К. Спектры поляритонов  $A_1$ -типа в кристаллах ниобата и tantalата лития при комнатной температуре и при температуре 620 К исследовались в работе [3]. В работе [4] был исследован закон дисперсии верхней поляритонной ветви в ниобате лития для колебаний  $E$ -типа. При этом было проведено сравнение экспериментальной зависимости с теоретическими, рассчитанными в квазигармоническом приближении, и получено аналитическое выражение закона дисперсии поляритонов при комнатной температуре.

В настоящей работе получен закон дисперсии высокочастотных поляритонов  $A_1$ -типа в ниобате и tantalате лития для области температур 100—300 К в широком интервале значений волнового вектора. При сопоставлении экспериментально полученного закона дисперсии с теоретическим использовалась модель лорентцевских осцилляторов без затухания.

Методика эксперимента

Поляритонные спектры регистрировались фотографическим методом на спектрографе СТЭ-1. Для получения частотно-угловой развертки использовалась телескопическая система, позволяющая регистрировать рассеянное излучение в интервале углов 0—13°. Источником возбуждения служила линия 514.5 нм (0.25 Вт) аргонового лазера. В качестве фильтра, подавляющего лазерное излучение, использовался кристалл CdS. Оптическая ось исследуемого кристалла была параллельна оси Z, а щель спектро-

графа оси —  $Y$ . При съемке использовалась геометрия рассеяния  $X(ZZ)X + \Delta Y$ . Поляритонные спектры кристаллов были получены при температурах 300, 250, 230, 180, 160 и 100 К.

### Результаты эксперимента и их обсуждение

Во время проведения эксперимента в кристаллах ниобата лития, охлажденных до температуры 180 К и ниже, начинали происходить «оптические искажения» [5, 6]. В кристалле tantalата лития при тех же условиях явных «оптических искажений» не наблюдалось.

На рис. 1 и 2 приведены фотографии поляритонных спектров кристаллов tantalата и ниобата лития для температур 300, 180 и 100 К. Как видно из

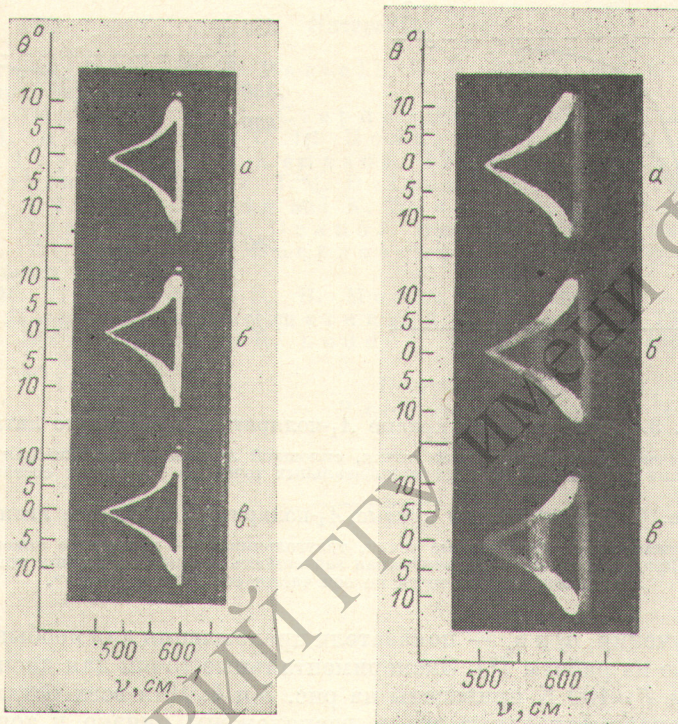


Рис. 1. Фотографии поляритонных спектров tantalата лития.  
Т, К: а — 300, б — 180, в — 100.

Рис. 2. Фотографии поляритонных спектров ниобата лития.  
Т, К: а — 300, б — 180, в — 100.

рис. 1, поляритонная кривая tantalата лития является резкой и однородной по интенсивности. Температурные изменения этой кривой состоят лишь в незначительной деформации, обусловленной сдвигом частоты оптического фона.

Спектр кристалла  $\text{LiNbO}_3$  при комнатной температуре (рис. 2, а) носит равномерный по интенсивности характер. При температуре кристалла 180 К, когда становятся заметными происходящие в нем «оптические искажения», распределение интенсивности поляритонного рассеяния становится неравномерным в области  $580 \text{ cm}^{-1}$  (рис. 2, б), что соответствует углу рассеяния  $\sim 5^\circ$ . Кроме того, в этой области обнаруживается новая размытая поляритонная ветвь. При дальнейшем понижении температуры отмеченные особенности поляритонной кривой становятся более отчетливыми. Как видно из рис. 1, в, при  $T=100$  К интенсивность низкочастотной части поля-

ритонной кривой резко падает в области  $580 \text{ см}^{-1}$ . Хорошо проявляется также новая ветвь, и спектр в этой области приобретает сложный характер.

Наблюдавшиеся ранее разрывы поляритонных кривых ниобата и танталата лития на рис. 1, 2 не видны в связи с тем, что исследовался большой диапазон углов рассеяния и, таким образом, угловой масштаб существенно отличается от масштабов [2, 3].

По полученным спектрам для каждой температуры строились дисперсионные кривые  $\nu(K)$  с использованием соотношения

$$K^2 = (2\pi)^2 [(\nu^0 n_e^0)^2 + (\nu' n_e')^2 - 2\nu^0 \nu' n_e^0 n_e' \cos \Theta], \quad (1)$$

связывающего волновой вектор поляритона  $K$  с углом рассеяния  $\Theta$  вне кристалла. В этом соотношении  $\nu^0$  и  $\nu'$  — частоты падающего и рассе-

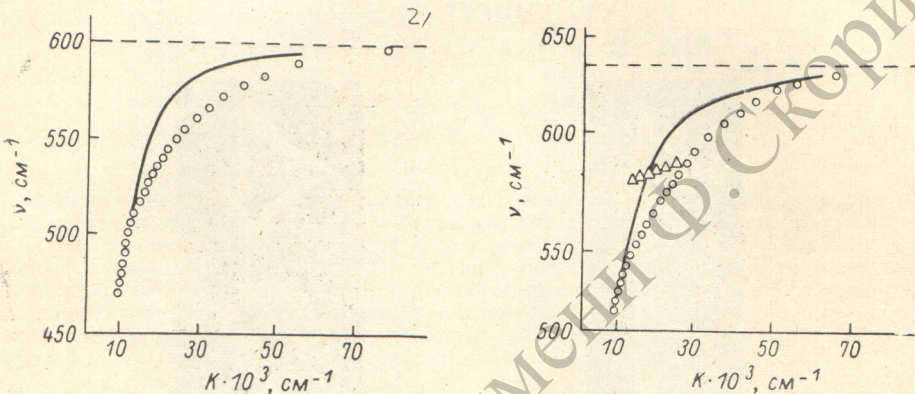


Рис. 3. Дисперсионные кривые  $A_1$ -поляритона в танталате лития.

Кружками отмечены экспериментальные точки, сплошной линией — теоретическая зависимость. Средняя величина погрешности для экспериментальных точек по оси частот составляет  $\pm 6 \text{ см}^{-1}$ .

Рис. 4. Дисперсионные кривые  $A_1$ -поляритона в ниобате лития.

Кружками отмечены экспериментальные точки, треугольниками — положение нового поляритонного участка. Сплошная линия — теоретическая зависимость. Средняя величина погрешности для экспериментальных точек по оси частот составляет  $\pm 8 \text{ см}^{-1}$ .

янного излучения,  $n_e^0$  и  $n_e'$  — показатели преломления для необыкновенного луча, взятые из работы [7]. Экспериментальные точки для дисперсионной зависимости  $T=100 \text{ К}$  приведены на рис. 3 и 4. Для всех остальных температур экспериментальные точки расположены близко к точкам, указанным на этих рисунках. Кроме того, на рис. 4 треугольниками отмечен новый поляритонный участок.

В гармоническом приближении для тензора диэлектрической проницаемости закон дисперсии поляритонов в исследуемом случае можно представить в виде:

$$K^2 = (2\pi)^2 \nu^2 \epsilon_{z\infty} \sum_{j=1}^4 \frac{\nu_{lj}^2 - \nu^2}{\nu_{tj}^2 - \nu^2}, \quad (2)$$

где  $\epsilon_{z\infty}$  — высокочастотная диэлектрическая проницаемость в направлении оптической оси кристалла,  $\nu_l$ ,  $\nu_t$  — частоты продольных и поперечных оптических колебаний  $A_1$ -типа.

Результаты расчета законов дисперсии для кристаллов  $\text{LiTaO}_3$  и  $\text{LiNbO}_3$  по соотношению (2) представлены на рис. 3 и 4 сплошными линиями. Низкочастотные части экспериментальных зависимостей, определяющие наклон кривых дисперсии электромагнитных волн в кристаллах, хорошо совпадают с теоретическими зависимостями при значениях  $\epsilon_{z\infty}=4.88$  для танталата лития и  $\epsilon_{z\infty}=6.1$  для ниобата лития. Эти значения хорошо согласуются с данными, приведенными в работах [8, 9]. В то же время обнаруживается некоторое расхождение экспериментальных и теоретических зависимостей в области нелинейных участков поляритонных кривых.

В заключение можно сказать, что в настоящей работе установлена новая особенность закона дисперсии  $A_1$ -поляритонов при низких температурах в кристаллах ниобата и танталата лития. Такого рода особенность может быть обусловлена Ферми-резонансом поляритонов с короткоживущим бифононом или каким-либо другим быстрорелаксирующим состоянием. С другой стороны, наличие описываемой особенности может быть вызвано проявлением «оптического искажения» в поляритонном спектре кристалла. Более детальное объяснение наблюдаемого явления требует дальнейшего развития теории.

Проделанная работа показывает, что модель лорентцевских осцилляторов без учета затухания позволяет с достаточной точностью определить значения высокочастотных проницаемостей кристаллов.

#### Литература

- [1] U. E. Puthoff, R. H. Partell, B. G. Huth and M. A. Chacon. J. Appl. Phys. 39, 2144, 1968.
- [2] Б. Н. Маврин, Х. Е. Стерин. Письма ЖЭТФ, 16, 265, 1972.
- [3] Ю. Н. Поливанов, С. Н. Полузктов. ФТТ, 20, 3482, 1978.
- [4] В. С. Горелик, А. А. Халевов. ФТТ, 6, 1702, 1977.
- [5] A. Askin, G. D. Boyd, J. M. Dziedzic, R. C. Smith, A. A. Ballman, J. J. Levinstein and K. Nassau. Appl. Phys. Lett., 9, 72, 1966.
- [6] А. П. Леваник, В. В. Осипов. Изв. АН СССР, сер. физ., 4, 752, 1977.
- [7] А. С. Сонин, А. С. Василевская. Электрооптические кристаллы. Атомиздат, 1971.
- [8] Ю. М. Поплавко, В. В. Мериакри, В. Н. Алешечкин, В. Г. Цыкалов, Е. Ф. Ушаткин, А. С. Князев. ФТТ, 15, 1473, 1973.
- [9] A. S. Barker, Jr, and R. Loudon. Phys. Rev., 158, 433, 1967.

Поступило в Редакцию 19 ноября 1979 г.  
В окончательной редакции 28 января 1981 г.